

Словными или замечаниями не подчеркивают множества недостатков, отмеченных в рассматриваемой статье. Различительная особенность большинства других конференционных работ в этой статье, можно найти непосредственно в [1, 2].

В связи с работами Г. И. Баренблатта уже проведен очень подробный трудозатратный анализ, отраженный частично в печати и в статье [3]. Нет смысла теперь разбирать эту самоуверенно составленную статью Г. И. Баренблатта подробно; отмеченных особенностей вполне достаточно для квалификации ее содержания.

Из сказанного вполне вытекает следующее общее заключение.

В статье, нет ни одного замечания, ни одной новой мысли, которые можно было бы признать научноинтересными по существу проблемы, или по существу критических работ.

Может показаться странным, что Г. И. Баренблатт, зная неопровержимую критику его работ и рассматриваемой статьи, отстаивает свою полную непогрешимость и публикует эту статью. Для понимания этого его действия надо учесть, что, с одной стороны, теория трещин связана с непривычными тонкостями, а с другой, — имеется ряд лиц, не выходящих в суть этой теории, но накрепко связавших себя положительными высказываниями о работах Г. И. Баренблатта.

К сожалению, в этой обстановке самые факты опровержений и выступления с ответной критикой, независимо от существа, стали для Г. И. Баренблатта и упомянутых лиц нужной целью.

Поступило 16 IX. 1968

#### ЛИТЕРАТУРА

1. Седов Л. И. Механика сплошных сред, ч. IV. Ротационное вад. Моск. ун-та, 1968.
2. Морозов Е. М., Хартон В. З. Об одном обосновании критерия Ирвина на конце трещины. Инж. ж. МТТ, 1968, № 6.
3. Леонов М. Я., Панасюк В. В. Развитие мезошаровой трещины в твердом теле. ПММ, 1959, т. 5, вып. 4.
4. Dugdale D. S. Yielding of steel sheets containing slits. J. Mech. Phys. Solids, vol. 8, 1960, No. 2.
5. Wink M. Criteria of ductile fracture initiated by a pressurized penny-shaped crack. Trans. ASME, Ser. E, 1967, No. 4.
6. Леонов М. Я., Витвицкий П. М., Ярема С. Я. Полосы пластичности при растяжении пластины с трещиноводным концентратором. Докл. АН СССР, 1963, т. 148, № 3.
7. Баренблатт Г. И., Христианович С. А. О модуле сцепления в теории трещин. Инж. ж. МТТ, 1968, № 2.
8. Vigberg K. V. Critical review of some theories in fracture mechanics Intern. Journ. of Fracture Mechanics, vol. 4, 1968, No. 4.
9. Баренблатт Г. И. Об условиях пластичности в механике сплошных сред. Статистическая задача теории упругости. ПММ, 1960, т. 24, вып. 2.

#### СОПОСТАВЛЕНИЕ ДВУХ МОДЕЛЕЙ РАЗВИТИЯ ТРЕЩИНЫ В ТВЕРДОМ ТЕЛЕ

А. Ю. ИШЛИНСКИЙ (Москва)

1. Ниже, на простейшем примере развития прямоугольной трещины в условиях плоского деформированного состояния рассматриваются и сопоставляются некоторые следствия исходных допущений, положенных в основу математического описания этого явления в рамках двух разных моделей. Обе модели используют аппарат классической теории упругости. Одну из них будем называть моделью Гриффитса — Ирвина [1, 2], или кратко, моделью ГИ, а вторую модель Христиановича — Баренблатта [3, 4], или кратко, моделью ХБ. Возможны и другие модели (см., например, [5, 6]), но они в этой статье не затрагиваются.

Вопрос о соответствии модели ГИ и ХБ натуре, т. е. насколько правильно описывают эти модели действительное распространение трещины в реальных твердых телах и в какой мере верны их исходные положения, здесь не рассматривается вовсе. Этот вопрос может служить предметом специального обсуждения с привлечением компетентных механиков-экспериментаторов и физиков. Остаются также в стороне вопросы приоритета построения моделей ГИ и ХБ и получения результатов вычислений тех или иных параметров, определяющих развитие трещины. Здесь требуется

использовать  
модели трещины  
Автор не  
сообщает  
литературы

-a-6a-a-

2. Уменьшение  
плотности  
связности p, в  
равновесном  
Методами  
перемещений  
периодически  
Эта форму

v(x,

$$+ c \ln \left[ \frac{\sqrt{a^2}}{\sqrt{a^2}} \right]$$

В своем  
подключении  
полями тессо,

$$\sigma_x = \sigma_y,$$

$$\sigma_y = \frac{p}{\pi} \left[ \right]$$

Напряжен  
цов щели инте

Здесь s —  
щели, а коэффи

Игнорируя  
удобно больш  
циальную эне  
мы Клайперо

на неосновательных, в части других вопросов.

ить, подробной трудом. Нет смысла теперь раз- баавта подробнее; отме- го содержания.

но, которые можно было и по существу критикуе-

неопровержимую крити- полную непогрешимость, надо учесть, что, с одной ки, а с другой, — имеется связанных себя положи-

ержений и выступание и Г. И. Баренблатта и

Поступило 10 IX 1968

кое изд. Моск. ун-та, 1968, ни критерия Ирвина на

трещины в твердом теле.

s. J. Mech. Phys. Solids,

«resswried penny-shaped

олосы пластичности при

и. Докл. АН СССР, 1963,

сцепления в теории тре-

mechanics Intern. Journ.

«ко сплошных сред. Ста-

2.

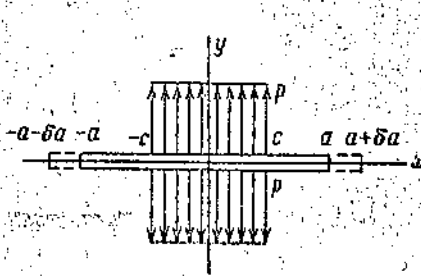
**О ТРЕЩИНАХ**

ной трещины в условиях ноставляется некоторые «тематического описании используют аппарат клас- оделью Гриффитса — Ир- гнановича — Баренблатта и (см., например, [2, 3]).

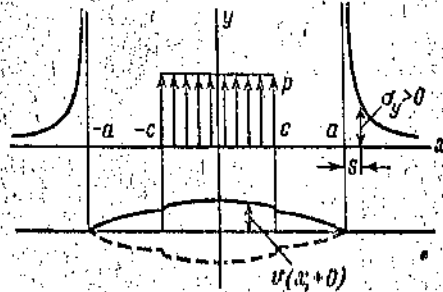
сколько правильно опи- ны в реальных твердых те рассматривается пове- здения с привлечением тиюет также в стороне ны результатов вычисле- трещины. Здесь требуется

сформулировано изучение отечественных и иностранных публикаций, в точном поре- нодом последних.

Автор выражает надежду, что статьи, несмотря на элементарный характер спос- го содержания, помогут устранению некоторых недоразумений, проникших в часть литературы по теории трещины.



Фиг. 1



Фиг. 2

2. Упомянутый выше простейший пример заключается в расширении прямоли- нейного разреза-щели в упругой плоскости двумя распределенными усилиями интен- сивности  $p$ , приложенными нормально к противоположным краям щели на фиксиро- ванном участке длиной  $2c$ , меньшей общей протяженности щели  $2a$  (фиг. 1).

Методами математической теории упругости [7] можно построить формулу для перемещений  $v(x, +0, a, p, c, \lambda, \mu)$  точек верхнего края щели в направлении, пер- пендикулярном к самой щели (фиг. 2).

Эта формула имеет вид

$$v(x, +0, a, p, c, \lambda, \mu) = \frac{\lambda + 2\mu}{2\mu(\lambda + 2\mu)} \frac{p}{\pi} \left( 2 \arcsin \frac{c}{a} \sqrt{a^2 - x^2} + \right. \\ \left. + c \ln \left| \frac{\sqrt{a^2 - x^2} + \sqrt{a^2 - c^2}}{\sqrt{a^2 - x^2} - \sqrt{a^2 - c^2}} \right| - x \ln \left| \frac{c \sqrt{a^2 - x^2} + x \sqrt{a^2 - c^2}}{c \sqrt{a^2 - x^2} - x \sqrt{a^2 - c^2}} \right| \right), \quad |x| \leq a \quad (1)$$

В свою очередь напряженное состояние упругой плоскости в точках оси  $x$ , рас- положенных на продолжении щели, характеризуется (фиг. 2) следующими компо- нентами тензора напряжений:

$$\sigma_x = \sigma_y, \quad \tau_{xy} = 0 \\ \sigma_y = \frac{p}{\pi} \left[ \frac{2x}{\sqrt{x^2 - a^2}} \arcsin \frac{c}{a} + \arcsin \frac{a^2 - cx}{a(x - c)} - \arcsin \frac{a^2 + cx}{a(x + c)} \right], \quad x > a \quad (2)$$

Напряжение  $\sigma_y$  и равно ему напряжение  $\sigma_x$  имеют в точках оси  $x$  около кон- цов щели интегрируемую особенность вида

$$\sigma_y = \frac{A}{\sqrt{s}} + \text{чл. в. п.} \quad (3)$$

Здесь  $s$  — расстояние между рассматриваемой точкой оси  $x$  и ближайшим концом щели, а коэффициент  $A$  выражается формулой

$$A = \frac{p \sqrt{2a}}{\pi} \arcsin \frac{c}{a} \quad (4)$$

Игнорируя наличие сколь угодно больших напряжений и как следствие сколь- угодно больших деформаций в окрестности концов щели, можно определить потен- циальную энергию  $U = U(a, p, c, \lambda, \mu)$  всей упругой плоскости посредством теоре- мы Клапейрона. Имеем

$$2U(a, p, c, \lambda, \mu) = 2 \int_{-c}^{+c} p v(x, +0, a, p, c, \lambda, \mu) dx =$$

$$\frac{2(\lambda + 2\mu)}{\mu(\lambda + \mu)} \frac{p^2}{\pi} \int_0^c \left( 2 \sqrt{a^2 - x^2} \arcsin \frac{c}{a} + c \ln \left| \frac{\sqrt{a^2 - x^2} + \sqrt{a^2 - c^2}}{\sqrt{a^2 - x^2} - \sqrt{a^2 - c^2}} \right| - \right. \\ \left. - x \ln \left| \frac{c \sqrt{a^2 - x^2} + x \sqrt{a^2 - c^2}}{c \sqrt{a^2 - x^2} - x \sqrt{a^2 - c^2}} \right| \right) dx = \frac{2(\lambda + 2\mu)}{\mu(\lambda + \mu)} \frac{p^2}{\pi} \left[ a^2 \arcsin^2 \frac{c}{a} + \right. \\ \left. + 2c^2 \ln \frac{a}{c} + 2c \sqrt{a^2 - c^2} \arcsin \frac{c}{a} \right] \quad (5)$$

При достаточно больших значениях равнодействующих распределенных усилий, величина каждой из которых определяется формулой

$$P = 2pc \quad (6)$$

у концов щели в материале упругой плоскости образуются разрывы. В обеих моделях, ГИ и ХВ, в данном случае принимается, что разрывы плоскости происходят по симметрично расположенным отрезкам, каждый из которых является продолжением первоначального примозонного разреза. Сумму длин этих отрезков и длины первоначального разреза будем называть длиной трещины, развившейся на данного разреза или щели и обозначать ее через  $2l$ . Определение длины трещины  $2l$  как функции интенсивности  $p$  разрывающих распределенных усилий, длины  $2c$  участка разреза, на котором они приложены, упругих постоянных плоскости  $\lambda$  и  $\mu$ , а также некоторой величины, характеризующей в соответствующей модели прочность материала, составляет основную задачу различных теорий развития трещин применительно к рассматриваемому примеру.

3. В модели ГИ принимается, что трещина развивается из щели, если применительно к рассматриваемому примеру, элементарная работа  $\delta W$  обеих приложенных к краям щели распределенных сил при фиксированной их интенсивности  $p$  в результате воображаемого симметричного расширения щели на бесконечно малую длину  $2\delta a$  окажется больше суммы соответствующего приращения потенциальной энергии

упругой плоскости  $\delta U = \delta U(a, p, c, \lambda, \mu) = \frac{\partial U}{\partial a} \delta a$  и так называемой элементарной работы  $2\gamma \delta a$ , расходуемой на разрыв материала. Таким образом, материал у конца щели начинает разрываться, если при фиксированном значении интенсивности распределенных сил  $p$  (а также длины  $2c$  участка, на котором они приложены) будет иметь место неравенство

$$\delta W = \left[ \frac{\partial}{\partial a} \int_{-c}^c 2 p v(x, \pm 0, a, p, c, \lambda, \mu) dx \right] \delta a > \frac{\partial U(a, p, c, \lambda, \mu)}{\partial a} \delta a + 2\gamma \delta a \quad (7)$$

Здесь  $\gamma$  — характеристика для данного материала в заданных условиях его деформирования константа — удельная работа, потребная на разрыв упругой плоскости при расширении трещины. Учитывая формулу (5), приходим к следующему условию развития трещины из щели:

$$\frac{\partial U(a, p, c, \lambda, \mu)}{\partial a} > 2\gamma \quad (8)$$

В соответствии с моделью ГИ щель не разрывается, если в случае данного примера

$$\frac{\partial U(a, p, c, \lambda, \mu)}{\partial a} < 2\gamma \quad (9)$$

Очевидно, что полушина  $l$  так называемой равновесной трещины согласно модели ГИ должна являться корнем уравнения

$$\frac{\partial U(l, p, c, \lambda, \mu)}{\partial l} = 2\gamma \quad (10)$$

Чтобы получить левую часть этого уравнения в развернутом виде, следует сначала вычислить частную производную от правой части формулы (5) по параметру  $a$ . Получим

$$\frac{\partial U(p, a, c, \lambda, \mu)}{\partial a} = \frac{2(\lambda + 2\mu)}{\mu(\lambda + \mu)} \frac{p^2 a}{\pi} \arcsin^2 \frac{c}{a} \quad (11)$$

Заменяя здесь букву  $a$  на букву  $l$ , приведем уравнение (10) к виду

$$\frac{\lambda + 2\mu}{\mu(\lambda + \mu)} \frac{p^2 l}{\pi} \arcsin^2 \frac{c}{l} = \gamma \quad (12)$$

В рассматриваемом примере образовывалась равновесная трещина устойчива. В самом деле, при дальнейшем увеличении полушины трещины  $l$  левая часть уравнения (12) убывает и оно обращается в неравенство типа (9). В силу же постулируемых свойств модели ГИ развитие трещины становится при этом невозможным

Образ  
(4) для  
интенсивности

После  
рассматриваем  
формулу  
на упругую  
плоскость  
Условие  
представлено

4. Др  
же от ме  
принимас  
по форму  
тягивающ  
плоскости  
Рациональ  
когда на  
гласно те  
ются всю  
строению  
В мо  
мых сил  
ны. Эти  
противоп  
следней.

где  $\xi$  — ра  
лей (фиг.  
значени  
функции  
Если  
в рамках  
ным. В ок

который в  
бласти [1].  
5. Для  
леши равн

на участка  
(фиг. 4).  
Сохран  
теневая  
описанных  
изго края  
(фиг. 5), в

$A_{11}$   
=  
+ p

$$\frac{c^2}{a^2} \left[ \frac{a^2 - c^2}{a^2 - x^2} + \frac{c^2 - a^2}{a^2 - c^2} \right] -$$

$$\frac{c^2}{a^2} \left[ a^2 \operatorname{arcsin} \frac{c}{a} + \right]$$

(5)

распределенных усилий,

(6)

разрывы. В обеих моде-  
 лях происходит по  
 мере продолжения  
 трещины и длины пер-  
 вышей на данного раз-  
 трещины  $2l$  как функ-  
 ции  $\lambda$  и  $\mu$ , а также неко-  
 лия прочность материала  
 реция применительно к

на щели, если примени-  
 бы обеих приложенных  
 интенсивности  $p$  в резуль-  
 тате конечную малую длину  
 потенциальной энергии  
 зываемой элементарной  
 азом, материал у конца  
 ания интенсивности рас-  
 они приложены) будет

$$\frac{c}{a} (\lambda, \mu) \delta a + 2\gamma \delta a$$

(7)

ых условиях его дефор-  
 мация упругой плоскости  
 к следующему условию

$$\frac{c}{a} (\lambda, \mu) \delta a + 2\gamma \delta a$$

(8)

если в случае данного

$$\frac{c}{a} (\lambda, \mu) \delta a + 2\gamma \delta a$$

(9)

трещины согласно мо-

$$\frac{c}{a} (\lambda, \mu) \delta a + 2\gamma \delta a$$

(10)

гом виде, следует сна-

$$\frac{c}{a} (\lambda, \mu) \delta a + 2\gamma \delta a$$

(11)

к виду

$$\frac{c}{a} (\lambda, \mu) \delta a + 2\gamma \delta a$$

(12)

я трещина устойчива,  
 ны / левая часть урав-  
 ). В силу же постули-  
 рия этом, потенциальная

Обратим теперь внимание на следующее обстоятельство. Сопоставим выражение (4) для коэффициента  $A$ , входящего в формулу (3), с частной производной (11) от потенциальной энергии упругой плоскости по параметру  $a$ . Замечаем, что

$$\frac{\partial U}{\partial a} = \frac{\pi (\lambda + 2\mu)}{\mu (\lambda + \mu)} A^2 \quad (13)$$

Последнее равенство выражает известный результат Ирвина [2] применительно к рассматриваемому примеру.

Формула (13), справедливая и в значительно более общих случаях действия сил на упругую плоскость при наличии в ней щели, была доказана Ирвином иным путем.

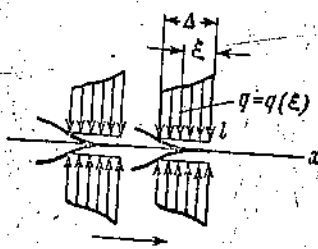
Условие появления разрывов на конце заданной щели может быть по Ирвину представлено в виде

$$\frac{\pi (\lambda + 2\mu)}{\mu (\lambda + \mu)} A^2 > 2\gamma \quad (14)$$

4. Другая модель, описывающая развитие трещины, именно модель ХБ, в отличие от модели ГИ имеет чисто силовой характер. Условием разрыва материала здесь принимаются позиционные несогласованных (согласно формулам математической теории упругости) растягивающих напряжений вблизи конца щели или трещины. Развитие трещины останавливается (в квазистатическом случае) и трещина становится равновесной, когда напряжения в материале упругой плоскости (согласно тем же формулам теории упругости) оказываются всюду конечными, включая в области, непосредственно примыкающие к ее концам.

В модели ХБ постулируется наличие так называемых сил сцепления, возникающих при развитии трещины. Эти силы по определению стремятся соединить противоположные края трещины, при расширении последней. Они распределены по заданному закону  $q = q(\xi)$

(15)



Фиг. 3

где  $\xi$  — расстояние какой-либо точки на краю трещины от ближайшего конца последней (фиг. 3). Предполагается, в частности, что функция  $q(\xi)$  обращается в нуль при значении аргумента  $\xi$ , большем некоторой характерной постоянной  $\Delta$ , а вид самой функции не зависит от размера полудлины трещины  $l$ .

Если величина  $\Delta$  намного меньше  $l$ , то при вычислении размеров трещины в рамках модели ХБ, конкретный вид самой функции  $q(\xi)$  оказывается несущественным. В окончательных уравнениях участвует лишь определенный интеграл

$$\int_0^{\Delta} \frac{q(\xi) d\xi}{\sqrt{\xi}} = K$$

(16)

который называется модулем сцепления. Этот результат принадлежит Г. И. Баренблатту [4].

5. Для простоты последующих выкладок примем, что силы сцепления распределены равномерно с интенсивностью

$$q(\xi) = q = \text{const} \quad (17)$$

на участках щели  $-a \leq x \leq -a + \Delta$  и  $a - \Delta \leq x \leq a$ , примыкающих к ее концам (фиг. 4).

Сохраним на участке  $-c \leq x \leq c$  то же равномерно распределенные силы интенсивности  $p$ , стремившиеся раздвинуть щель (фиг. 4), что и в п. 2. При наличии этого края щели в направлении, перпендикулярном к самому разрезу плоскости (фиг. 5), выражаемый теперь следующей формулой:

$$v(x, +0, a, p, c, q, \Delta, \lambda, \mu) =$$

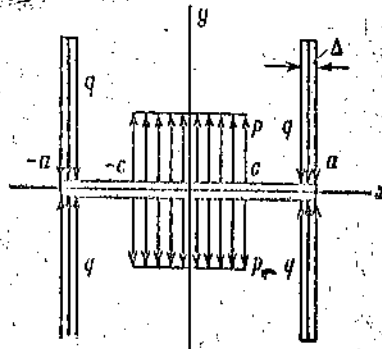
$$= \frac{\lambda + 2\mu}{2\mu (\lambda + \mu)} \left\{ 2 \left[ p \operatorname{arcsin} \frac{c}{a} - q \left( \frac{\pi}{2} - \operatorname{arcsin} \frac{a - \Delta}{a} \right) \right] \sqrt{a^2 - x^2} + \right.$$

$$\left. + pc \ln \left| \frac{\sqrt{a^2 - x^2} + \sqrt{a^2 - c^2}}{\sqrt{a^2 - x^2} - \sqrt{a^2 - c^2}} \right| - px \ln \left| \frac{c \sqrt{a^2 - x^2} + x \sqrt{a^2 - c^2}}{c \sqrt{a^2 - x^2} - x \sqrt{a^2 - c^2}} \right| \right\}$$

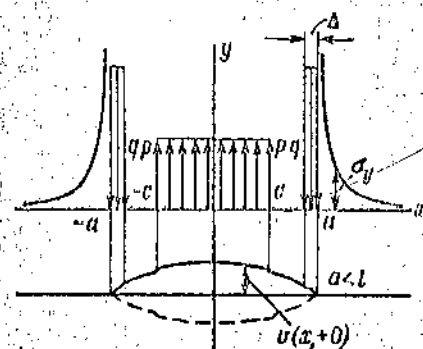
$$+ q(a - \Delta) \ln \left| \frac{\sqrt{a^2 - x^2} + \sqrt{a^2 - (a - \Delta)^2}}{\sqrt{a^2 - x^2} - \sqrt{a^2 - (a - \Delta)^2}} \right| - qx \ln \left| \frac{(a - \Delta) \sqrt{a^2 - x^2} + x \sqrt{a^2 - (a - \Delta)^2}}{(a - \Delta) \sqrt{a^2 - x^2} - x \sqrt{a^2 - (a - \Delta)^2}} \right| \quad |x| \leq a \quad (18)$$

Соответственно для напряжений  $\sigma_y$  в точках, лежащих на оси  $x$  внутри упругой плоскости, имеем место выражение

$$\sigma_y = \frac{1}{\pi} \left[ p \arcsin \frac{a}{a-x} - q \left( \frac{\pi}{2} - \arcsin \frac{a-\Delta}{a-x} \right) \right] \sqrt{a^2 - x^2} + \frac{p}{\pi} \left[ \arcsin \frac{a^2 - cx}{a(x-c)} - \arcsin \frac{a^2 + cx}{a(x+c)} \right] + \frac{q}{\pi} \left[ \pi + \arcsin \frac{a^2 - x(a-\Delta)}{a(x-a+\Delta)} - \arcsin \frac{a^2 + x(a-\Delta)}{a(x+a-\Delta)} \right] \quad x > a \quad (19)$$



Фиг. 4



Фиг. 5

Так как при абсциссе  $x$ , близкой к  $a$ , значения  $\sigma_y$  согласно формуле (19) в общем случае неограниченно велики, то в соответствии с наделенными модели ХБ свойствами при

$$p \arcsin \frac{c}{a} - q \left( \frac{\pi}{2} - \arcsin \frac{a-\Delta}{a} \right) > 0 \quad (20)$$

край щели начнет разрываться вдоль оси  $x$  и она превратится в трещину. Длина трещины будет возрастать, пока в правой части формулы (19) не исчезнет член, обуславливающий появление неограниченно больших положительных (т. е. растягивающих) напряжений в упругой плоскости вблизи концов трещины. Таким образом, в случае равновесной трещины модели ХБ имеет место равенство

$$p \arcsin \frac{c}{l} - q \left( \frac{\pi}{2} - \arcsin \frac{l-\Delta}{l} \right) = 0 \quad (21)$$

которое является уравнением для отыскания ее полудлины  $l$ . Уравнение (21) в интервале  $(c + \Delta, \infty)$  может иметь только один корень.

Напряжения  $\sigma_y$  при наличии равновесной трещины выражаются формулой

$$\sigma_y = q + \frac{p}{\pi} \left[ \arcsin \frac{l^2 - cx}{l(x-c)} - \arcsin \frac{l^2 + cx}{l(x+c)} \right] + \frac{q}{\pi} \left[ \arcsin \frac{l^2 - x(l-\Delta)}{l(x-l+\Delta)} - \arcsin \frac{l^2 + x(l-\Delta)}{l(x+l-\Delta)} \right] \quad |x| \geq l \quad (22)$$

При  $x$ , обращаемом в  $l$ , величина  $\sigma_y$  становится равной  $q$ . Это обстоятельство в сущности и ведет к плавному смыканию краев равновесной трещины в ее кон-

цах (фиг. 6). Равн чива. В са длина  $2l$  в этом случа жено пла сти в соот и формулы ивать не ставлено равна  $2a$  той сторон и длину  $2l$  случае зна бы на обра точки  $(x, y)$  вблизи ее тельные пе (фиг. 7) за естественно 7. Расс соотноше Для этой ко ной  $2l$  и р усилыми  $r$  другую, не

а приложен стках  $a \ll x$  ния не вво Сможень выражается

-  $px$

+  $qx$

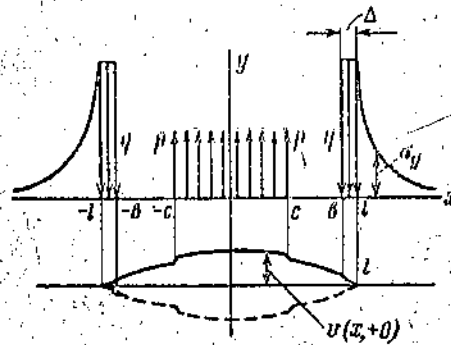
-  $xq \ln \left| \frac{b \sqrt{...}}{b \sqrt{...}} \right|$

где введепо о

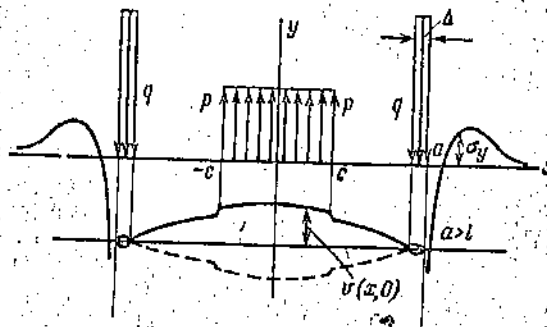
цах (Фиг. 6). В этом можно убедиться, учитывая равенства (21) и формулу (18), заменив предварительно в ней букву  $a$  на букву  $l$ .

6. Равновесная трещина модели ХБ (Фиг. 6) в рассматриваемом примере устойчива. В самом деле, в условиях статички трещина не может иметь длину  $2a$ , меньшую длины  $2l$  равновесной трещины, ибо в этом случае, как только что было показано выше, материал упругой плоскости не соответствует с неравенством (20) и формулой (19) должен был бы поддерживать неустойчиво большую растягивающую деформацию (Фиг. 6), а это в рамках модели ХБ невозможно. С другой стороны, трещина не может иметь в длину  $2a$ , большую  $2l$ . В последнем случае знак неравенства (20) изменился бы на обратный, и в силу формулы (18) точки  $(x, +0)$  верхнего края трещины вблизи ее концов получили бы отрицательные перемещения и край трещины (Фиг. 7) зашел бы один за другой, что естественно, в модели ХБ не допускается.

7. Рассмотрим одно вариационное соотношение, связанное с моделью ХБ. Для этой цели наряду с трещиной длиной  $2l$  и распределенными по ее краям усилиями  $p$  и силами сцепления  $q$  так, как это было описано в п. 5 (Фиг. 4), введем другую, несколько удлиненную трещину. Длина этой трещины равна  $2h$  (Фиг. 8).



Фиг. 6



Фиг. 7

а приложенные к ней усилия и силы сцепления те же самые. Таким образом, на участках  $a \leq x \leq h$  около концов новой трещины никаких дополнительных сил сцепления не вводится.

Смещения точек верхнего края новой трещины, перпендикулярные к оси  $x$ , выражаются формулой

$$v(x, +0, h, a, b, c, p, q, \lambda, \mu) = \frac{\lambda + 2\mu}{2\pi\mu(\lambda + \mu)} \left\{ 2 \left( p \arcsin \frac{c}{h} - q \arcsin \frac{a}{h} + q \arcsin \frac{b}{h} \right) \sqrt{h^2 - x^2} - \right. \\ - px \ln \left| \frac{c \sqrt{h^2 - x^2} + x \sqrt{h^2 - c^2}}{c \sqrt{h^2 - x^2} - x \sqrt{h^2 - c^2}} \right| + pq \ln \left| \frac{\sqrt{h^2 - x^2} + \sqrt{h^2 - c^2}}{\sqrt{h^2 - x^2} - \sqrt{h^2 - c^2}} \right| + \\ + qx \ln \left| \frac{a \sqrt{h^2 - x^2} + x \sqrt{h^2 - a^2}}{a \sqrt{h^2 - x^2} - x \sqrt{h^2 - a^2}} \right| - qa \ln \left| \frac{\sqrt{h^2 - x^2} + \sqrt{h^2 - a^2}}{\sqrt{h^2 - x^2} - \sqrt{h^2 - a^2}} \right| - \\ \left. - xq \ln \left| \frac{b \sqrt{h^2 - x^2} + x \sqrt{h^2 - b^2}}{b \sqrt{h^2 - x^2} - x \sqrt{h^2 - b^2}} \right| + qb \ln \left| \frac{\sqrt{h^2 - x^2} + \sqrt{h^2 - b^2}}{\sqrt{h^2 - x^2} - \sqrt{h^2 - b^2}} \right| \right\} \quad |x| \leq h \quad (23)$$

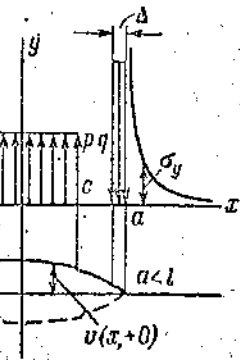
где введено обозначение

$$b = a - \Delta \quad (24)$$

$$|x| \leq a \quad (18)$$

а оси  $x$  внутри упругой

$$\left. \begin{aligned} & \frac{2\mu}{\lambda + 2\mu} \left[ \frac{p}{c} \arcsin \frac{c}{h} - \frac{q}{a} \arcsin \frac{a}{h} + \frac{q}{b} \arcsin \frac{b}{h} \right] \sqrt{h^2 - x^2} - \\ & - px \ln \left| \frac{c \sqrt{h^2 - x^2} + x \sqrt{h^2 - c^2}}{c \sqrt{h^2 - x^2} - x \sqrt{h^2 - c^2}} \right| + pq \ln \left| \frac{\sqrt{h^2 - x^2} + \sqrt{h^2 - c^2}}{\sqrt{h^2 - x^2} - \sqrt{h^2 - c^2}} \right| + \\ & + qx \ln \left| \frac{a \sqrt{h^2 - x^2} + x \sqrt{h^2 - a^2}}{a \sqrt{h^2 - x^2} - x \sqrt{h^2 - a^2}} \right| - qa \ln \left| \frac{\sqrt{h^2 - x^2} + \sqrt{h^2 - a^2}}{\sqrt{h^2 - x^2} - \sqrt{h^2 - a^2}} \right| - \\ & - xq \ln \left| \frac{b \sqrt{h^2 - x^2} + x \sqrt{h^2 - b^2}}{b \sqrt{h^2 - x^2} - x \sqrt{h^2 - b^2}} \right| + qb \ln \left| \frac{\sqrt{h^2 - x^2} + \sqrt{h^2 - b^2}}{\sqrt{h^2 - x^2} - \sqrt{h^2 - b^2}} \right| \end{aligned} \right\} \quad |x| \leq h \quad (19)$$



по формуле (19) в об-  
делочными модели ХБ

$$v(x, +0) \quad (20)$$

тся в трещину. Данная  
не исчезает член, обус-  
ленных (т. е. растягиваю-  
щины. Таким образом,  
тво

$$0 \quad (21)$$

Уравнение (21) в интер-  
каются формулой

$$\left. \begin{aligned} & \frac{2\mu}{\lambda + 2\mu} \left[ \frac{p}{c} \arcsin \frac{c}{h} - \frac{q}{a} \arcsin \frac{a}{h} + \frac{q}{b} \arcsin \frac{b}{h} \right] \sqrt{h^2 - x^2} - \\ & - px \ln \left| \frac{c \sqrt{h^2 - x^2} + x \sqrt{h^2 - c^2}}{c \sqrt{h^2 - x^2} - x \sqrt{h^2 - c^2}} \right| + pq \ln \left| \frac{\sqrt{h^2 - x^2} + \sqrt{h^2 - c^2}}{\sqrt{h^2 - x^2} - \sqrt{h^2 - c^2}} \right| + \\ & + qx \ln \left| \frac{a \sqrt{h^2 - x^2} + x \sqrt{h^2 - a^2}}{a \sqrt{h^2 - x^2} - x \sqrt{h^2 - a^2}} \right| - qa \ln \left| \frac{\sqrt{h^2 - x^2} + \sqrt{h^2 - a^2}}{\sqrt{h^2 - x^2} - \sqrt{h^2 - a^2}} \right| - \\ & - xq \ln \left| \frac{b \sqrt{h^2 - x^2} + x \sqrt{h^2 - b^2}}{b \sqrt{h^2 - x^2} - x \sqrt{h^2 - b^2}} \right| + qb \ln \left| \frac{\sqrt{h^2 - x^2} + \sqrt{h^2 - b^2}}{\sqrt{h^2 - x^2} - \sqrt{h^2 - b^2}} \right| \end{aligned} \right\} \quad |x| \geq l \quad (22)$$

и  $q$ . Это обстоятельство  
ой трещины в ее кон-

Известно теорема Клапейрона потенциальной энергии упругой плоскости при наличии и под удлинённой трещиной представляется в виде

$$2U = 2U(h, a, b, c, p, q, \lambda, \mu) = \lambda \int_0^a p v dx - \lambda \int_b^a q v dx = \quad (25)$$

$$= \frac{(\lambda + 2\mu)}{\pi\mu(\lambda + \mu)} \left\{ p^2 \left( b^2 \arcsin^2 \frac{c}{b} + 2c^2 \ln \frac{b}{c} + 2c \sqrt{b^2 - c^2} \arcsin \frac{c}{b} \right) + \right.$$

$$+ 2 \int_b^a t \left[ p \arcsin \frac{c}{t} - q \left( \frac{\pi}{2} - \arcsin \frac{b}{t} \right) \right]^2 dt + 2 \int_a^h t \left[ p \arcsin \frac{c}{t} - \right.$$

$$\left. - q \left( \arcsin \frac{a}{t} - \arcsin \frac{b}{t} \right) \right]^2 dt \Big\}$$

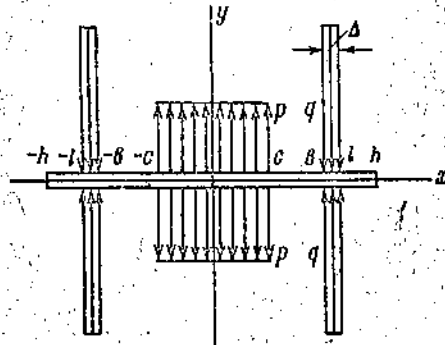
где функция

$$v = v(x, +0, h, a, b, c, p, q, \lambda, \mu) \quad (26)$$

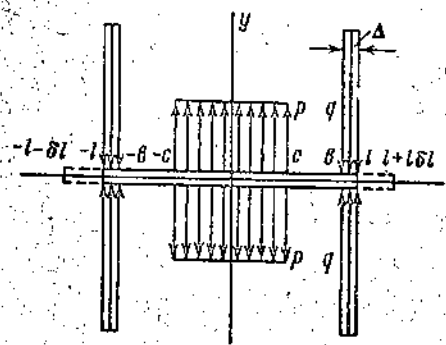
определяется формулой (23).

Частная производная от функции  $U(h, a, b, c, p, q, \lambda, \mu)$  по параметру  $h$  составляет величину

$$\frac{\partial U(h, a, b, c, p, q, \lambda, \mu)}{\partial h} = \frac{2(\lambda + 2\mu)}{\pi\mu(\lambda + \mu)} h \left( p \arcsin \frac{c}{h} - q \arcsin \frac{a}{h} + q \arcsin \frac{b}{h} \right) \quad (27)$$



Фиг. 8



Фиг. 9

При неограниченном приближении полудлины  $h$  удлинённой трещины к полудлине  $a$  первоначальной трещины имеем в пределе

$$\lim_{h \rightarrow a} \frac{\partial U(h, a, b, c, p, q, \lambda, \mu)}{\partial h} = \frac{2(\lambda + 2\mu)}{\pi\mu(\lambda + \mu)} a \left[ p \arcsin \frac{c}{a} - q \left( \frac{\pi}{2} - \arcsin \frac{b}{a} \right) \right]^2 \quad (28)$$

Пусть первоначальная трещина является равновесной. Обозначим, как и ранее, ее длину через  $l$ , тогда в силу уравнения (21) и равенства (24) имеем

$$\lim_{h \rightarrow l} \frac{\partial U(h, l, b, c, p, q, \lambda, \mu)}{\partial h} = 0 \quad (29)$$

Равенство (29) можно рассматривать как уравнение для определения полудлины  $l$  равновесной трещины. Оно эквивалентно уравнению (21). Равенство (29) эквивалентно также обращению в нуль вариации  $\delta U$  потенциальной энергии упругой плоскости при воображаемом бесконечно малом расщеплении длины равновесной трещины на величину  $2\delta l$  (фиг. 9) без введения каких-либо сил на участках прироста трещины (аналогично была введена вариация  $\delta a$  в случае модели ГИ, см. п. 3, фиг. 1). Таким образом, равенство

$$\delta U = 0 \quad (30)$$

симметрично при расщеплении на  $h$  и  $h - \delta l$  той плоскости: XIV), в вариации  $2U + 2\delta U$ , значения упругой плоскости в своем расположении

В рамках уравнения (30) все сложное с

8. Обратимся к соотношению действительности кр (фиг. 4). Если как это следует делится величина предельных сил  $[x] < c$ . При  $p$  полудлины  $l$  растет (фиг. с уравнением (

$$dp =$$

$$- \sqrt{\frac{l-b}{l+b}} \arcsin$$

между дифференциалами  $p$  и  $l$ .

Элементарный вариант распределения их формулой

где  $v = v(x, +0, l)$  и  $l$  имеет вид:

$$v(x, +0, l,$$

$$- p x \ln$$

Чтобы вывести соотношение  $dU$  потенциальной энергии представляется

Здесь  $U = U$  упругой плоскости

$$U(l, p, c, \dots)$$



упругой плоскости  
де

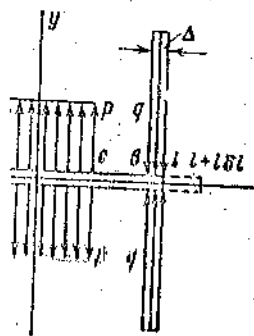
$$\int_0^a qv dx = \dots \quad (25)$$

$$-c^2 \arcsin \frac{c}{b} +$$

$$p \arcsin \frac{c}{l} -$$

но параметру  $b$  состав.

$$c \sin \frac{a}{h} + q \arcsin \frac{b}{h} \quad (26)$$



Вид 9  
ной трещины к полу-

$$\left( \frac{\pi}{2} - \arcsin \frac{b}{a} \right)^2 \quad (28)$$

значим, как и ранее,  
мем

$$\dots \quad (29)$$

предельной полушли-

Равенство (29) экви-

энергии упругой пло-

и равновесной трещи-

нствах прироста тре-

Щ, см. п. 3, фиг. 1).

$$\dots \quad (30)$$

справедливо при условии полного сохранения в варьированном состоянии величины как распределенных усилий  $p$  на участке  $0 < |x| < c$ , так и сил сцепления  $q$  на участках  $b < |x| < c$ , и отсутствия сил на участках  $l < |x| < l + \delta l$ . Оба состояния упругой плоскости: основное, с трещиной длиной  $2l$  (равновесное с точки зрения модели ХБ), и варьированное, с трещиной длиной  $2l + 2\delta l$ , являются состояниями равновесия упругой плоскости при действии одних и тех же сил  $p$  и  $q$ , но меняющихся своего расположения при варьировании.

В рамках модели ХБ вариационное уравнение (30) распространяется и на более сложные случаи развития трещины.

8. Обратимся, наконец, к энергетическим соотношениям в модели ХБ в случае действительного развития трещины применительно к рассматриваемому примеру (фиг. 4). Для равновесной трещины  $2l$ , как это следует из уравнения (21), определяется величиной интенсивности  $p$  распределенных сил на фиксированном участке  $|x| < c$ . При увеличении интенсивности  $p$  удлинения  $l$  равновесной трещины возрастает (фиг. 10), причем в соответствии с уравнением (21) имеем соотношение

$$dp = \left( c \frac{1/2 \pi - \arcsin bl^{-1}}{\sqrt{l^2 - c^2}} - \sqrt{\frac{l-b}{l+b}} \arcsin \frac{c}{l} \right) \frac{q dl}{l \arcsin^2 cl^{-1}} \quad (31)$$

между дифференциалами  $dp$  и  $dl$  переменных  $p$  и  $l$ .

Элементарная работа  $dW$ , которую совершают распределенные силы при квазистатическом развитии трещины вследствие увеличения их интенсивности  $p$  на бесконечно малую величину  $dp$ , выражается формулой

$$dW = \int_0^b p \left[ \left( \frac{\partial v}{\partial p} + \frac{\partial v}{\partial l} \frac{dl}{dp} \right) dp \right] dx \quad (32)$$

где  $v = v(x, +0, l, p, c, q, \Delta, \lambda, \mu)$  — функция, которая в случае равновесной трещины имеет вид

$$v(x, +0, l, p, c, q, \Delta, \lambda, \mu) = \frac{\lambda + 2\mu}{2\pi\mu(\lambda + \mu)} \left\{ pc \ln \left| \frac{\sqrt{l^2 - x^2} + \sqrt{l^2 - c^2}}{\sqrt{l^2 - x^2} - \sqrt{l^2 - c^2}} \right| - \right.$$

$$- px \ln \left| \frac{c\sqrt{l^2 - x^2} + x\sqrt{l^2 - c^2}}{c\sqrt{l^2 - x^2} - x\sqrt{l^2 - c^2}} \right| + qb \ln \left| \frac{\sqrt{l^2 - x^2} + \sqrt{l^2 - b^2}}{\sqrt{l^2 - x^2} - \sqrt{l^2 - b^2}} \right| -$$

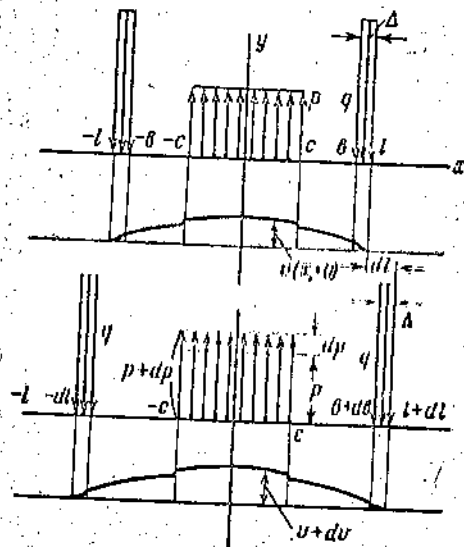
$$\left. - qx \ln \left| \frac{b\sqrt{l^2 - x^2} + x\sqrt{l^2 - b^2}}{b\sqrt{l^2 - x^2} - x\sqrt{l^2 - b^2}} \right| \right\}, \quad b = l - \Delta \quad (33)$$

Чтобы вывести последнюю формулу, достаточно в правой части формулы (18) учесть соотношение (21), предварительно заменив букву  $a$  на  $l$ . В свою очередь значение  $dU$  потенциальной энергии упругой плоскости при развитии равновесной трещины представляется формулой

$$dU = \left( \frac{\partial U}{\partial p} + \frac{\partial U}{\partial l} \frac{dl}{dp} \right) dp \quad (34)$$

Здесь  $U = U(l, p, c, q, \Delta, \lambda, \mu)$  — следующее выражение потенциальной энергии упругой плоскости при наличии в ней трещины, описываемой моделью ХБ

$$U(l, p, c, q, \Delta, \lambda, \mu) = \frac{\lambda + 2\mu}{\pi\mu(\lambda + \mu)} \left\{ p^2 \left( b^2 \arcsin^2 \frac{c}{b} + 2c^2 \ln \frac{b}{c} + \right. \right.$$



Фиг. 10



$$+ 2c \sqrt{b^2 - c^2} \arcsin \frac{c}{b} + \int_0^l 2l \left[ p \arcsin \frac{c}{l} - q \left( \frac{\pi}{2} - \arcsin \frac{b}{l} \right) \right]^{2-\nu} dt, \quad \nu b = l - \Delta \quad (35)$$

Для получения этой формулы следует положить  $h = a = l$  в формуле (25) предыдущего п. 7. При  $b = l$  ее правая часть обращается в выражение (5) для потенциальной энергии упругой плоскости, с разрезом длиной  $2l$ , нагруженной по схеме фиг. 1.

Очевидно, что элементарная работа  $dW$  сил, расширяющих равновесную трещину, расходуется на изменение потенциальной энергии упругой плоскости и на преодоление сопротивления сил сцепления при дополнительном разрыве плоскости на длину  $2\delta l$ .

Следовательно

$$dR = dW - dU = \left[ 2p \int_{-c}^c \left( \frac{\partial v}{\partial p} + \frac{\partial v}{\partial l} \frac{dl}{dp} \right) dx - \left( \frac{\partial U}{\partial p} + \frac{\partial U}{\partial l} \frac{dl}{dp} \right) \right] \frac{dp}{dl} dl \quad (36)$$

где  $dR$  — элементарная работа, затрачиваемая на собственно развитие трещины. Множитель, который стоит в правой части последнего равенства перед дифференциалом  $dl$ , можно выразить через параметры примера, если использовать формулы (33) и (35) для функций  $v = v(x, +0, l, p, c, q, \Delta, \lambda, \mu)$  и  $U = U(l, p, c, q, \Delta, \lambda, \mu)$ , а также соотношению

$$b = l - \Delta \quad (37)$$

После преобразований и упрощений получим для упомянутого множителя — удвоенной удельной работы, идущей на развитие трещины в модели ХБ, выражению

$$2\gamma(l, \Delta, q, \lambda, \mu) = \frac{4(\lambda + 2\mu)}{\pi\mu(\lambda + \mu)} \left\{ q^2 \left[ \left( \frac{\pi}{2} - \arcsin \frac{b}{l} \right) \sqrt{l^2 - b^2} + b \ln \frac{b}{l} \right] + \right. \\ \left. + q \frac{dp}{dl} \int_0^l \left( \frac{\pi}{2} - \arcsin \frac{b}{l} \right) \arcsin \frac{c}{l} dt \right\} \quad (38)$$

Соотношение

$$dR = 2\gamma dl \quad (39)$$

аналогично соотношению (10) в модели ГИ. Однако здесь величина  $2\gamma$  оказывается зависящей от ряда параметров  $p$  и, следовательно, от удлинения  $l$  равновесной трещины. (Заметим, что формула (36) справедлива и для подсчета работы, идущей на собственно развитие трещины при возрастании интенсивности  $p$  распределенных разрывающих сил, приложенных на участке  $-c < x < c$  в модели ГИ. В этом случае  $v$  и  $U$  определяются формулами (1) и (5), а удлинения  $l$  и интенсивность  $p$  связаны соотношением (12). Учитывая формулу (10), получим для модели ГИ тоже соотношение (39), однако в нем величина  $\gamma$  будет характерной константой этой модели.)

Будем стремиться к нулю размер  $\Delta$  участков, на которых согласно модели ХБ проявляют себя силы сцепления. Одновременно будем увеличивать интенсивность  $q$  сил сцепления так, чтобы оставался неизменным модуль сцепления  $K$ , введенный выше посредством формулы (16). При  $q = \text{const}$  этот модуль представляется в виде

$$K = 2q\sqrt{\Delta} \quad (40)$$

В пределе получим для удельной работы (28) выражение

$$\gamma = \frac{\lambda + 2\mu}{2\pi\mu(\lambda + \mu)} K^2 \quad (41)$$

Уравнение (21) в этом предельном случае, т. е. при стремлении величины  $\Delta$  к нулю, принимает вид

$$p \arcsin \frac{c}{l} = \frac{K}{\sqrt{2l}} \quad (42)$$

Оно обращается в уравнение (12) модели ГИ, если посредством равенства (41) исключить из него модуль сцепления  $K$ .

Таким образом, в рассматриваемом примере результаты расчета длины равновесной трещины при использовании модели ГИ являются предельными по отношению к результатам расчета в рамках модели ХБ.

9. Пример, рассмотренный выше, позволил выяснить основные особенности моделей ГИ и ХБ и сопоставить их друг другу посредством фактического вычисления напряженного и деформированного состояний, а также упругой энергии, относящихся каждый раз к конкретному случаю нагружения упругой плоскости по краям ее при

моментов по бокам от прямой разрывающей линии  $y = 0$ , т. е.

Отсюда в результате ре-

При  $p(x)$  Соответствует корнем у

выражающие  $q(x)$  заданы в (21) п. 5. При малых уравнении (1

где  $K$  — модуль сцепления (44), (45), а для определения  $p$  по отношению к величине  $K$  или иной модели трещины в т. е. в упругих материалах. Ответ а также другие следствия совершенной трещины сформирован

1. Griffith, Soc., 192
2. Irwin, p. 147-
3. Желтый нефтенос
4. Баренбургский
5. Лооносе тили. П.
6. Dugdale, 1960, vol
7. Muskhelishvili, упругое

$$\left. \frac{\partial U}{\partial l} \right|_{p, c, q} = \lambda \quad (35)$$

В формуле (25) выражение (35) для потенциальной энергии нагруженной по схеме

их равновесную трещину плоскости и на пределе разрыва плоскости на

$$\frac{\partial U}{\partial l} \frac{dl}{dp} \Big|_{p, c, q} = \frac{dp}{dl} dl \quad (36)$$

развития трещины, выражена через дифференциалы функции (35) и  $U = U(l, p, c, q)$ .

$$\frac{\partial U}{\partial l} = \lambda \quad (37)$$

множителем — моделью ХВ, выражение  $\lambda = \frac{2\mu}{\lambda + 2\mu} \left[ b^2 + b \ln \frac{b}{l} \right] +$

$$U \quad (38)$$

$$\lambda \quad (39)$$

величина  $2\mu$  оказывается для  $l$  равновесной трещины работы, идущей на пути  $p$  распределенных модели ГИ. В этом случае интенсивность  $p$  связана для ГИ тоже соотношением этой модели.)

ак согласно модели ХВ считать интенсивность  $q$  теплота  $K$ , введенный в представляется в виде

$$\lambda \quad (40)$$

трещины, величины  $\Delta$

$$\lambda \quad (41)$$

редством равенства (41)

расчета длины равновесными по отношению

овные особенности математического вычисления найденной энергии, относящихся к краям ее при-

магнитного разрыва. Сделанные вычисления подтверждаются, разумеется, и в приближении более общей математической модели (см. например, [4] и [1]). В частности, если на участке прилегающей к цели —  $a < x < c$  (рис. 1) вместо равномерно распределенных сил приложены силы произвольной переменной интенсивности  $p(x) = p(c-x)$ , то цель, согласно модели ГИ, начнет прорываться в трещину при условии

$$\frac{(\lambda + 2\mu) a}{2\pi\mu(\lambda + \mu)} \left( \int_{-c}^{+c} \frac{p(x) dx}{\sqrt{a^2 - x^2}} \right)^2 > \gamma \quad (43)$$

Отсюда следует, что длина равновесной трещины  $2l$  может быть найдена в результате решения уравнения

$$\frac{2(\lambda + 2\mu) l}{\pi\mu(\lambda + \mu)} \left( \int_0^c \frac{p(x) dx}{\sqrt{l^2 - x^2}} \right)^2 = \gamma \quad (44)$$

При  $p(x) = p = \text{const}$  оно обращается в уравнение (12) п. 3. Соответственно к модели ХВ (рис. 4) полулучина  $l$  равновесной трещины является корнем уравнения

$$\int_{-a}^a \frac{p(x) dx}{\sqrt{l^2 - x^2}} - 2 \int_{l-\Delta}^l \frac{q(l-x) dx}{\sqrt{l^2 - x^2}} = 0, \quad q(l-x) = q(\xi) \quad (45)$$

выражающего отсутствие в упругом теле неограниченно больших напряжений. Здесь  $q(\xi)$  заданный закон (рис. 3) распределения сил сжатия на участках, прилегающих к концам трещины. При  $p(x) = p = \text{const}$  и  $q(\xi) = q = \text{const}$  уравнения (45) и (21) п. 5 эквивалентны.

При малых по сравнению с  $l$  значениях величины  $\Delta$  второй интеграл левой части уравнения (45) представляется в виде

$$\int_{l-\Delta}^l \frac{q(l-x) dx}{\sqrt{l^2 - x^2}} = \int_0^\Delta \frac{q(\xi) d\xi}{\sqrt{\xi(2l-\xi)}} = \frac{1}{\sqrt{2l}} K + \text{чл. в. п.} \quad (46)$$

где  $K$  — модуль эллиптического интеграла, определенный в п. 4 формулой (16). Сопоставляя формулы (44), (45), (46) и учитывая обозначение (41), вновь убеждаемся, что уравнение (44) для определения длины равновесной трещины в рамках модели ГИ является предельным по отношению к аналогичному уравнению (45) модели ХВ.

Возникает естественный вопрос, чем следует руководствоваться при выборе той или иной модели для изучения математической стороны явления распространения трещины в твердом теле, учитывая, что численные расчеты длины равновесных трещин в упругих телах приводит в обеих моделях практически к одним и тем же результатам. Ответ на этот вопрос следует искать в степени пригодности моделей ГИ и ХВ, а также других, внутренне не противоречивых моделей для феноменологического исследования развития трещин в усложненных условиях, например, в случае тел несовершенной упругости, где, как известно, затрата энергии на собственно развитие трещины может оказаться несравненно меньше необратимого расхода энергии на деформирование самого тела.

Поступило 4 X 1968

ЛИТЕРАТУРА

1. Griffith A. A. The phenomenon of rupture and flow in solids. Phil. trans. Roy. Soc., 1920, A 221, p. 163—198.
2. Irwin G. R. Fracture dynamics, in «Fracturing of Metals», ASM, Cleveland, 1948, p. 147—166.
3. Жолтов Ю. П., Христианович С. А. О механизме гидравлического разрыва нефтеносного пласта. Изв. АН СССР, ОН, 1955, № 5, стр. 3—41.
4. Баренблатт Г. И. О равновесных трещинах, образующихся при хрупком разрушении. ПММ, 1959, т. 23, вып. 3—5.
5. Леонов М. Я., Панасюк В. В. Развитие найдрбнейших трещин в твердом теле. Прикладная механика, АН УССР, 1959, № 5, стр. 391—401.
6. Dugdale D. S. Yielding of steel sheets containing slits. J. Mech. Phys. Solids, 1960, vol. 8, No. 2, p. 100—104.
7. Мусхелишвили Н. И. Некоторые основные задачи математической теории упругости. М.: «Наука», 1968.